过电流脱扣器用双金属元件的选择和设计

连理枝

杭州之江开关有限公司 (311234)

摘 要 文章介绍了各种双金属材料的性能、参数以及不同使用条件下双金属元件的设计和材料的选择,可供断路器热动脱扣的设计人员参考。

关键词 双金属性能 选择 设计 脱扣 短路

The Material Selection and Design of Bimetal Elements Used in Over Current Tripper

Lian Lizhi

Hangzhou Zhijiang Switchgear Co., Ltd (311234)

Abstract: The article introduces the properties, data and under different use conditions, the design and material selection for bimetal elements, which can be as references for circuit breaker thermo-actuated tripper designers.

Key words: bimetal property; selection; design; trip; short circuit

在各种测试、调节机构,特别是断路器的过电流脱扣器(热动脱扣器)中,双金属的应用是十分广泛普遍的。在设计断路器过电流脱扣器时,如何选择双金属材料是一个关键问题。设计中一般需要考虑:双金属元件工作的最高和最低温度,工作温度的范围,元件受热的位移和形式与大小,力或力矩的大小等。本文对以上问题谈点粗浅看法,供热动脱扣器的设计人员参考。

1 双金属元件设计时材料的选择

1.1 根据元件的使用温度来选择双金属材料

热双金属元件是利用双金属(两种金属)不同的 热膨胀系数的特性,在受热时的变形、弯曲来工作 的,因此温度是它的一个很重要的参数。通常,塑料 外壳式断路器或热继电器的工作温度在100~130℃ (称为双金属元件的工作温度),这样选择的金属材 料的"允许使用温度范围",一定要大于双金属元件 在工作中可能达到的最高和最低温度。如果元件的 工作温度超过材料允许的使用温度范围,则元件的 热敏性(比弯曲)和其他性能就有降低或显著降低的 可能。

除了允许使用温度范围之外,还要考虑双金属材料的线性温度范围。所谓线性温度是指它的热敏性与温度之间的关系基本上是直线关系。因此元件的工件温度范围应选在材料的线性温度范围,以便

使双金属元件具有最高的热敏性能,并能最充分、最经济地利用材料的这一重要性能。

如上所述,塑壳式断路器的工作温度在100~130℃,如选用5J20110(5J11)双金属材料,它的"允许使用温度范围"是 $-70\sim+250$ ℃,"线性温度范围"是 $-20\sim+150$ ℃;如选用5J1480(5J18)其"允许使用温度范围"是 $-70\sim+350$ ℃,"线性温度范围"是 $-20\sim+180$ ℃,都能适应要求。

1.2 根据热双金属元件的加热方式来选择材料

1.2.1 直接加热

热双金属元件通电流而发热。这种加热方式通常用于额定电流在63A及以下,它们选用的材料多数为电阻型双金属,也有选用通用型(如5J1480)和高灵敏型(如5J20110)等。

1.2.2 傍热式加热

热双金属元件所承受的热源是来自于它边傍的电阻合金(发热)材料通电发热,通过传导、对流和幅射传于双金属元件。它适用的是小于63A的电流规格。所使用的电阻合金有镍铬、镍铬铝和镍铜(低电阻率适用于较大额定电流)等。而双金属元件多数采用5J1480和5J20110等。

1.2.3 复合加热式

热双金属元件的热源一部分是双金属元件直接 通电,另一部分是依靠电阻合金的发热传导等。

1.2.4 CT 式加热

利用串接的CT(电流互感器)副边电流直接加热或傍热传导给双金属元件,这种方式大多用于额定电流在630A及以上的规格的断路器。

1.3 考虑双金属材料的机械性能

1.3.1 双金属材料的拉伸弹性性能

一般供作元件的双金属材料,大多数是在20%~30%冷变形状态时供货的,它们有足够的塑性。在机械性能中占主要的是材料的拉伸弹性模量 E。在多数塑壳式断路器使用的悬臂梁(直条式)元件的设计时,应按下式计算E值,然后比较 E值是否超过材料所具有的 E值:

$$E = \frac{4PL^3}{\Delta f b \delta^3} \tag{1}$$

式中: P一元件的负载, N;

L一元件的长度,mm;

 Δf 一元件的位移量(挠度变量), mm;

b 一元件的宽度, mm;

 δ 一元件的厚度, mm。

1.3.2 双金属元件的最大负荷应力

双金属元件的最大负荷应力 σ 按下式计算

$$\sigma = \frac{6PL}{b\delta^2} \tag{2}$$

经计算得出的值应与材料本身的抗拉强度进行 比较,σ只能是小于材料的最大允许负荷应力。

例:用 5J1578(5J16)制成悬臂梁双金属元件长度为 60mm,已知 P为 1.5N(元件自由端加力 1.5N的负荷举高 2mm),已计算出的元件宽度 b为 13mm,厚度 δ =0.7mm,则按上式计算:

$$\sigma = \frac{6PL}{b\delta^2} = \frac{6 \times 1.5 \times 60}{13 \times 0.7^2} = 84.77 \text{N/mm}^2$$

查 5J1578 最大允许负荷为 200N/ mm^2 , σ 没有超过允许值。但是如果超过,此时可以改变宽度 δ 等值。

双金属元件在温度变化和受到外力(如断路器的脱扣杆的阻力)作用时,其应力由热弯曲、机械负载及元件制造中产生的内应力这三方面组成。前二者可以通过计算得到,而内应力只能估算,所以总的最大负荷应力,还需要通过必要的试验来验证。

2 双金属材料的分类

因为加热方式(法)不同和使用场所的差别,设计人员应按需要选材。为方便参考,现叙述不同类

型的材料和它的用途。

2.1 通用型一这是一个适用多种用途的品种,要求有较高的灵敏度和机械强度,中等的使用温度范围。 典型的牌号有国产的 5 J 1578 (5 J 16)、5 J 1416 (5 J 17)、5 J 1480 (5 J 18),日本的 BL — 2、CIY,德国的 TB 155/78,法国的 AS 等。

2.2 高灵敏型—具有高灵敏性(即比弯曲K值),在同样的元件几何尺寸和温差下,它的位移较大,因此热推力也大,在塑壳式断路器(悬臂梁式)较大电流的傍热式中用得最多,典型材料有5J20110(5J11),国外同类型的有BR—1(日本住友金属公司),M(德国GRAU公司),TB208/1109(德国德镍公司),108(法国Imphy公司)等。这些材料的主动层是Mn75Ni.5Cu10,因此抗腐蚀性较差,易锈。

2.3 高温型—适用于300℃及以上的温度场所工作。 要求有较高的机械强度和良好的抗氧化性能,但灵敏度较低。典型的材料有国产的5J1070(5J23)、5J0756(5J25),它们的工作温度范围分别是20~350℃和0~400℃,国外的有德国的TB1075,法国Imphy公司的IN546等。

2.4 低温型—适用于0℃及以下的低温环境中工作。 性能要求与通用型材料相当。典型材料有国产的 5J1478(5J19),其允许使用温度范围-80~+350℃, 线性温度范围-50~+200℃。

2.5 耐腐蚀型—有良好的耐腐蚀性能,适合于化工等有腐蚀性介质场所使用。性能要求与通用型相近。 通常它们的表面涂漆或镀以防蚀性良好的金属。

2.6 特殊型一具有各种特殊性能,能适应特殊场所使用的类型,典型材料有国产的5J1017(5J24)。国外的有法国 Imphy 的 R15,日本的 TM3、BL3(日本住友金属)、LIY(日本东芝)、TM22(美国)等。

2.7 电阻型一电阻率从最小的3μΩcm起,到5.1、8.3、11.9、14.8、33、43······141到最大的162μΩcm,主要用于额定电流 / ≤63A的断路器或热继电器的直热式过电流脱扣器保护。电阻型双金属材料多数是三层金属组成,即主动层、被动层和中间层。中间层的材料有铜合金,镍(Ni)和Zr—Cu(锆—铜)。中间层是用作调节电阻率的,中间层厚度的微小变化,将使它的电阻率有较大的变化。国产型号有5J1306A、5J306B、5J1411A、5J1417、5J1455A、5J1455B以及新型的R70、R80、R90、R112、R141和R161等。国外同类型的有TRC—5(日本. 住友)、

TB128/05(德. 德镍)、CuGel(德 GRAN)、TB150/19 (德)、TRC—15(日本. 住友)、TB138/15(德)、R16 (法. Imphy)、TR—25(日本. 住友)、R25(法. Imphy)、TR—30(日本. 住友)、TB134/33(德)、TR—50(日本. 住友)、CNL—50(日本. 东芝)、TB139/50(德)、BR—2(日本. 住友)、R140(法. Imphy)、TB140/140(德)等等。

如上所说,电阻型双金属材料,适用直热式(双金属元件直接通电发热)计算时可参考以下公式:

$$T-T_0 = \frac{I^2Rt}{GC} \tag{3}$$

式中:

*I*一电流, A;

R一双金属元件的电阻, Ω ;

t一时间, s;

G一双金属元件的质量,g;

C—双金属元件的比热 卡,g/℃;

T- T_0 ─温度的变化, \mathbb{C} ;

将
$$R = \rho \frac{L}{S}$$
 $G = b\delta l \gamma$ 代入上式,得

$$T-T_0 = \frac{I^2 \rho \frac{l}{s} t}{b \delta l \chi C} = \frac{I^2 \rho \frac{l}{b \delta} t}{b \delta l \chi C} = \frac{I^2 \rho t}{b^2 \delta^2 \chi C}$$
(4)

式中:

 ρ —双金属元件的电阻率, μ Ω cm;

b一双金属元件的宽度,mm;

 δ —双金属元件的厚度, mm;

 σ —双金属元件的密度(比重), g/cm²;

以上公式没有考虑热双金属元件与周围环境热交换的影响,因此 T— T_0 不能超过 100 °C,加热时间必须在 60s 之内才能适应,从式 (4) 可见,如果 b、 δ 不变 $(\rho \)$ 个和 C 变化不多) ,通过选用不同的 T,达到不同的 T— T_0 ,设计就简化了 (7 得出 T— T_0 可求得位移量 Δf 和热推力等) 。

3 元件设计时,必须考虑选用材料的允许 $\int i^2 dt$ 和导致元件变形和熔断的 I^2t 值

塑料外壳式断路器的双金属元件是作过电流时保护的。但它与断路器的短路保护机构一电磁铁系统是串联的。这样就面临一个问题,就是断路器开断线路的短路电流(短路电流可达几万安培)时,双金属元件是否经受得住,即双金属元件本身允许的 Ji²dt 是不是等于或大于线路发生短路电流流过此

元件的 $\int i^2 dt$?这是世界各国的电器制造工程师和用户普遍关注的问题。

短路电流有两种性质,一种是电动机保护型电器要考虑的,一种是配电保护型电器要考虑的。

对于电动机保护电器而言,德国专家提出:双金属元件或电阻合金(发热元件)对短路稳定性的最低要求是:耐受12倍额定电流(但真正的短路电流是远远超过12 In),这就要求短路保护用的电磁脱扣器的动作时间尽可能短,并采用电阻型双金属材料(双金属元件是直热式)。

表1是德国有关标准提出的双金属材料(用于直热式元件)所能耐受的短路电流值

表1 耐受短路电流值

热双金属 牌号(德	i I		电阻率 ρ(μΩcm)		不同切断时间的允 许短路电流(A/mm²)		
Din1715)	属牌号		(20℃时)	(mm².s.℃)	l s	0. 1s	0.01s
TB1555	5J1555	15. 0	55	2. 44	52	164	518
TB1550	5J1550	15. 0	50	2. 52	53	169	535
TB1440	5J1440A	14. 9	40	2. 73	58	183	579
TB1430	5J1430B	14. 0	30	3. 04	65	204	645
TB1515	5J1515	14. 9	15	4. 39	88	278	878
TB1306	5J1306A	14. 0	6	7. 03	141	445	1 406
TB1577A	5J1578	15. 5	77	2. 19	47	147	465
TB20110	5J20110	20.8	108	1. 85	35	109	364
TB1906	5J1906	18.6	6	9. 0	168	532	1 684

注:比电流是指双金属在1秒钟加热至1℃时,所需通过的1mm²截面积的电流。

从表1可见5J1306A、5J1906、5J1515、5J1430B等电阻型双金属材料,无论是1s、0.1s和0.01s内的允许通过短路电流(A/mm²)要比其它材料大。

如果双金属元件的截面积是20mm²,则对5J1555 材料来论,1s时间内可通过的电流是3280A,而对 5J1906的材料,则可通过33600A,而不造成元件 变形等后果。

对配电型断路器来说,双金属元件可能承受的短路电流很大,它必须考虑双金属可能产生变形或熔断的 $\int i^2 dt$ 或以 $\int i^2 dt$ 的值来表示,其单位是 $(\times 10^3 \text{A}^2 \text{Sec/mm}^4)$ 。

表2是不同双金属元件在通过短路电流时的变形、熔断特性。

表2 变形与熔断特性

双金属 材 料 牌 号	材料 厚度	电阻率 ρ (μΩcm) (20℃时)	比弯曲 (10 ⁻⁶ /oK)	变形时的 (i s) ² t (× 10 ³ A ² Sec/mm ⁴)	熔断时的 (i s) ² t (× 10 ³ A ² Sec/mm ¹)
R141	1.25~1.27	140 ± 7	14.3 ± 0.7	3. 56	4. 41
5J20110	1.0~1.27	110 ± 6	20	4. 11	5. 10
5J1578	1. 27~1. 8	81 ± 4	15 ± 0.7	8. 4	9
5J1480	0.8, 1.14, 1.4	80 ± 0.05	14.2 ± 0.7	8. 4	9
5J1455A	1, 4	50 ± 2.5	14.5 ± 0.7	7. 96	8. 5
5J1325B	1. 4	25 ± 1.3	13.5 ± 0.7	5. 92	6.5
R15	0.8、1.14、1.4	15 ± 0.8	13.8 ± 0.7	16. 4	18. 5

作为傍热式的发热电阻合金材料的变形熔断的 $(\frac{l}{c})^2 t$ 值见表 3。

变形熔断值 表3

电阻合金 材 料 牌 号	材 料 厚 度	电阻率 ρ (μΩ cm) (20℃时)	极限使用 温度 ℃	变形时的 (熔断时的 (i _S) ² t (× 10 ³ A ² Sec/mm ⁴)
NC-005	1. 2	5	200	33. 4	42
NC-010	1. 2	10	200	19. 5	28. 2
NC-015	1. 2	15	300	14	20. 7
NC-030	1. 2	30	350	7.74	15. 9
NC-050	1. 2	50	400	4. 26	10. 2
Ni80Cr20	1	108	1 150	2. 17	4. 49
1Cr18Ni9	1	70~82	1 010	2. 17	4, 49
铜板(1/4 硬)	各种	1.72	1 083	84	90

当双金属元件(直热式)或是电阻合金材料(傍 热式),在通过短路电流时,要求断路器在约0.02s 内动作,因此尽管双金属元件或电阻合金元件通过 极大短路电流,可使其温度大大升高,但因为时间 很短,可看成是一种绝热条件,它们的 $\int i^2 dt$ 值可 以下面的公式计算:

$$\int i^{2} dt = \frac{J Y c S^{2}}{a \rho} \ln \frac{T + \frac{1}{a}}{T_{0} + \frac{1}{a}}$$
 (5)

式中:

J-热功当量,等于 4.186 焦耳 / 卡:

γ—材料的比重, g/cm³;

c—材料的比热卡,g/ \mathbb{C} ;

 α —材料的电阻温度系数,1/℃;

 ρ — 20℃时材料的电阻率, μ Ω cm;

将各种材料的 ν 、C、 α 、 ρ 代入5式, 并以 T_0 为20°C,T为材料的最高使用温度进行计算,就可 得表 4 各种双金属材料和电阻合金材料允许的

∫*i*²dt值。

表 4 材料允许的 $\int i^2 dt$ 值

	材料牌号	允许的∫i²dt (A²S)
	R141	6. $11 \times S^2 \times 10^3 \ln \frac{2\ 252+200}{2\ 272}$
	5J20110	$3.90 \times S^2 \times 10^3 \ln \frac{1.091 + 200}{1.111}$
双	5J1480	$4. 13 \times S^2 \times 10^3 \ln \frac{793 + 350}{813}$
金	5J1580	$4. 13 \times S^2 \times 10^3 \ln \frac{813 + 350}{833}$
属 材	R15	$5.08 \times S^2 \times 10^3 \ln \frac{180 + 250}{200}$
料	R25	$3.87 \times S^2 \times 10^3 \ln \frac{213 + 350}{233}$
	R30	$3.59 \times S^2 \times 10^3 \ln \frac{230 + 350}{250}$
	R50	$3. 10 \times S^2 \times 10^3 \text{Im} \frac{365 + 350}{385}$
	NC-005	$5.72 \times S^2 \times 10^3 \text{Im} \frac{749 + 200}{769}$
	NC-010	$5.31 \times S^2 \times 10^3 \ln \frac{1409 + 200}{1429}$
电 阻 -	NC-015	$4.96 \times S^2 \times 10^3 \ln \frac{1980 + 300}{2000}$
合	NC-030	$6.20 \times S^2 \times 10^3 \ln \frac{4980 + 350}{5000}$
金 材料	NC-050	$7.59 \times \text{S}^2 \times 10^3 \ln \frac{9.980 + 400}{10.000}$
	Ni80Cr20	$2.49 \times S^2 \times 10^3 \ln \frac{7123+1150}{7143}$
	1Cr18Ni9	$5.52 \times S^2 \times 10^3 \ln \frac{9980+1010}{10000}$
	T2Y2(紫铜板)	$5.05 \times S^2 \times 10^3 \ln \frac{234 + 1080}{254}$

当短路电流的 $\int i^2 dt$ (设 t 为 0.02s) 超过双金 属或电阻合金材料允许的 $\int i^2 dt$,将引起双金属元 件或发热元件变形甚至熔断,此时应采用分流的办 法。图1是一种常见的分流方案。

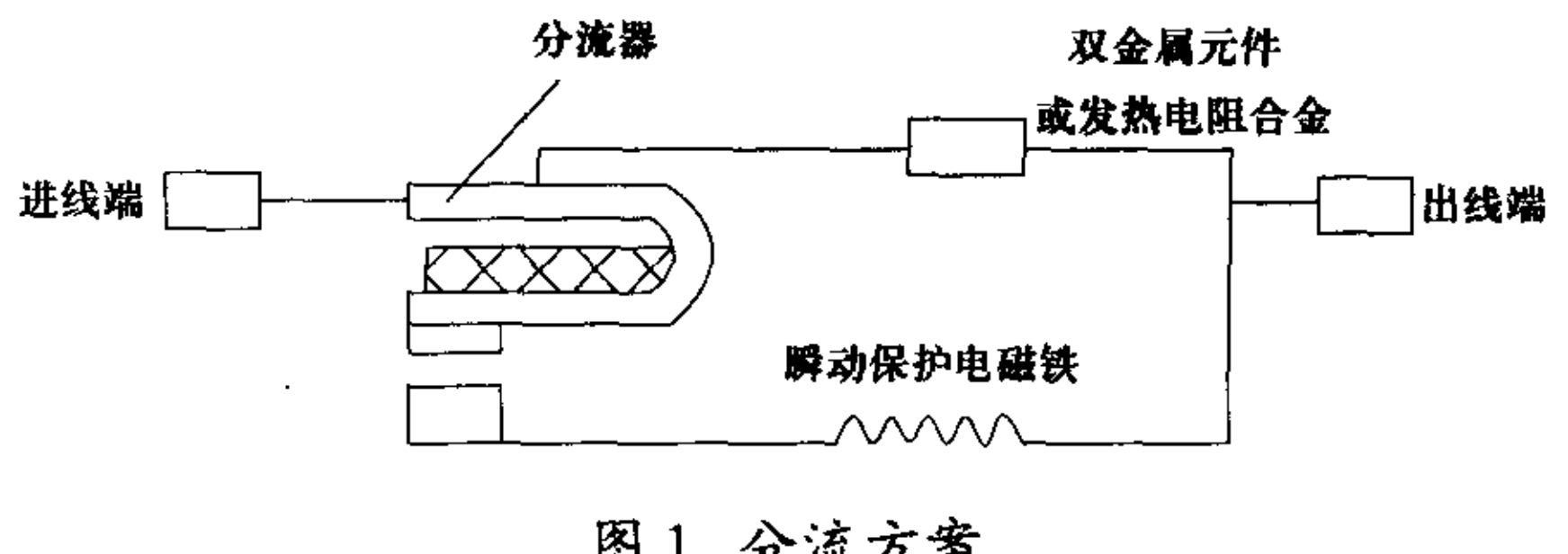


图1 分流方案

图1中,未发生短路(一般为10点或更大)时, 电流经进线端进入分流器的一部分,再经双金属元 件或发热电阻合金元件到出线端(此时瞬动因无电流 流过而未工作); 当发生线路短路,短路达到104时, 倒U形的分流器产生很大的电动斥力,使其下部向 下运动,分流器(导体)与瞬动保护电磁铁的线圈有 了通路, 短路电流通过电磁铁, 而不通过双金属元 件或发热元件(它们的阻抗大于电磁铁线圈),这样 就避免了双金属或发热元件遭遇短路电流而受损。

4 双金属元件的设计

塑壳式断路器或热继电器常用的双金属元件的 形状是悬臂梁式(或称直条形),如图2所示。

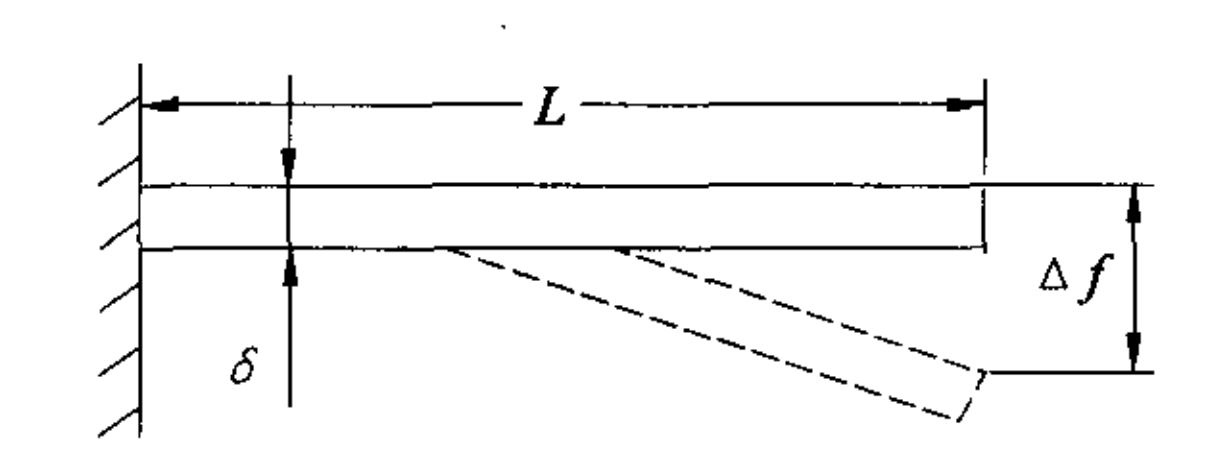


图 2 双金属元件示意图

双金属元件的位移量(热推力P=0) $\triangle f$

$$\triangle f = \frac{K(T-T_0)L^2}{\delta}$$

式中: K-比弯曲 (× 10⁻⁶/℃);

T- *T*₀ 一温度的变化,℃;

L一元件的长度,mm;

 δ 一元件的厚度,mm。

机械推力一在恒定温度下原件产生位移的力

$$P = \frac{b \delta^3 E \triangle f}{4L^3}$$

式中: b一元件的宽度, mm;

E一元件材料的拉伸弹性模量;

 $\triangle f$ 一元件的位移量,mm。

热推力一元件的位移受到完全限制时,因温度 变化产生的弯曲全部变为力。

$$P = \frac{K(T-T_0) b \delta^2 E}{4L}$$

最大负荷(弯曲)应力 σ

$$\sigma = \frac{6PL}{b\delta^2}$$

将以上公式总结如下:

- 1)温度变化时的位移量△f
- a) 与材料的厚度成反比;
- b) 与材料长度的平方成正比;
- c)不受材料宽度的影响;
- d) 与温度变化值成正比。
- 2) 温度变化时产生的热推力
- a) 与材料的厚度平方成正比;
- b) 与材料的宽度成正比;
- c) 与材料的长成正比;
- d) 与温度变化值成正比。
- 3) 最大负荷(应力)
- a) 与材料的厚度平方成反比;
- b) 与材料的长成正比;
- c) 与材料的宽度成反比;
- d)与热推力成正比。

(收稿日期: 2003-02-19)

三峡输变电工程实施情况

目前正实施第一阶段

至2002年底,交流部分已投入变电站(含开关站)约20余座,所招标变压器达42台,容量约1000万kVA,已占总容量的40%以上;关联电抗器54台,容量约270万kvar;50万V断路器已订货84台;50万V隔离开关近200台。直流部分,宜昌龙泉至江苏常州政平±50万V直流工程线路长890km,龙泉、政平两个换流站容量各300万kW。已于2002年11月第一级投入,具有输送150万kW能力的功能,计划2003年第二级投入,且有输送300万kW能力的功能。两个换流站所采用的设备,于1999年分别与瑞士ABB、德国西门子等签订了引进设备的技术转让的协议,两个换流站的大部分设备是以上两个公

司的设备,国内西变、沈变等也为龙泉、政平两个换流站按合同分包比例分别提供了部分换流变压器,平波电抗器等设备。

据不完全统计,2003年以前已投产或将要投产的交流50万V变电站(含开关站):

华中地区:宜昌、荆州、孝感、荆门(斗笠)开关站、长沙、益阳、(祥符)、南昌、开封、新乡。

华东地区: 宜兴、杭州东、阜阳(阜东)、金华(双龙)、神州。

重庆地区:万县、长寿。

周鹤良 供稿 (收稿日期: 2003-06-11)